



Национальный исследовательский  
Нижегородский государственный университет им. Н.И. Лобачевского  
Институт информационных технологий, математики и механики

Образовательный курс  
«Современные методы и технологии  
глубокого обучения в компьютерном зрении»

# Семантическая сегментация изображений с использованием методов глубокого обучения

*При поддержке компании Intel*

Гетманская Александра, Кустикова Валентина

# Содержание

---

- ❑ Цель лекции
- ❑ Постановка задачи семантической сегментации изображений
- ❑ Открытые наборы данных
- ❑ Показатели качества семантической сегментации изображений
- ❑ Глубокие модели для семантической сегментации изображений
- ❑ Сравнение моделей семантической сегментации изображений
- ❑ Заключение



# Цель лекции

---

- **Цель** – изучить глубокие нейросетевые модели для решения задачи семантической сегментации изображений (изображений естественного мира, медицинских изображений и других)



---

# ПОСТАНОВКА ЗАДАЧИ СЕМАНТИЧЕСКОЙ СЕГМЕНТАЦИИ ИЗОБРАЖЕНИЙ

# Постановка задачи (1)

- Задача семантической сегментации состоит в том, чтобы каждому пикселю изображения поставить в соответствие класс объектов, которому этот пиксель принадлежит (разные цвета соответствуют разным классам)



Оригинал



Разметка



Результат сегментации

\* The PASCAL Visual Object Classes Homepage [<http://host.robots.ox.ac.uk/pascal/VOC>].

## Постановка задачи (2)

- ❑ Исходное изображение представлено набором интенсивностей пикселей  $I = (I_{ij}^k)_{\substack{0 \leq i < w \\ 0 \leq j < h \\ 0 \leq k < 3}}$ , где  $w$  и  $h$  – ширина и высота изображения,  $k$  – количество каналов
- ❑ Определено множество допустимых классов объектов на изображении  $C = \{0, 1, \dots, N - 1\}$ , 0 соответствует фону, остальное множество идентификаторов однозначно сопоставляются с множеством классов
- ❑ Требуется найти отображение

$$\varphi(I_{ij}) = c$$



---

# ОТКРЫТЫЕ НАБОРЫ ДАННЫХ



# Наборы данных (1)

Набор данных	Размер тренировочного множества	Размер тестового множества	Количество классов
<b><i>Семантическая сегментация объектов реальной жизни</i></b>			
PASCAL VOC 2012 <a href="http://host.robots.ox.ac.uk/pascal/VOC/voc2012">[http://host.robots.ox.ac.uk/pascal/VOC/voc2012]</a>	9 963	1 447	20
ADE20K <a href="http://groups.csail.mit.edu/vision/datasets/ADE20K">[http://groups.csail.mit.edu/vision/datasets/ADE20K]</a>	20 210	2 000	150
MS COCO'15 <a href="http://mscoco.org">[http://mscoco.org]</a>	80 000	40 000	80
...			



# Наборы данных (2)

Набор данных	Размер тренировочного множества	Размер тестового множества	Количество классов
<b><i>Семантическая сегментация дорожных объектов</i></b>			
CamVid <a href="http://mi.eng.cam.ac.uk/research/projects/VideoRec/CamVid">[http://mi.eng.cam.ac.uk/research/projects/VideoRec/CamVid]</a>	468	233	11
Cityscapes <a href="https://www.cityscapes-dataset.com">[https://www.cityscapes-dataset.com]</a>	2 975	500	19
KITTI <a href="http://www.cvlibs.net/datasets/kitti">[http://www.cvlibs.net/datasets/kitti]</a>	200	200	4
<b><i>Семантическая сегментация интерьеров</i></b>			
Sun-RGBD <a href="http://rgb-d.cs.princeton.edu">[http://rgb-d.cs.princeton.edu]</a>	10 355	2 860	37
NYUDv2 <a href="http://cs.nyu.edu/~silberman/datasets/nyu_depth_v2.html">[http://cs.nyu.edu/~silberman/datasets/nyu_depth_v2.html]</a>	795	645	40

# Наборы данных (3)

- ❑ MS COCO'15 – самая объемная база изображений для семантической сегментации объектов реальной жизни
- ❑ Cityscapes содержит изображения, снятые в 50 городах с видеорегистратора при разных погодных условиях
- ❑ Бенчмарк KITTI содержит данные и инструменты для оценки качества решения различных задач на изображениях дорожных сцен (детектирование объектов, семантическая сегментация изображений и объектов, сопровождение объектов, детектирование полос движения и другие)
- ❑ Sun-RGBD содержит изображения сцен внутри помещений (дом, офис), для которых решаются задачи классификации изображений (2 категории), семантической сегментации, детектирование трехмерных объектов и оценка их положения, распознавание сцены (scene understanding)

# PASCAL VOC 2012

- ❑ PASCAL VOC 2012 – наиболее известная база изображений
- ❑ 20 классов объектов естественного мира: airplane, bicycle, bird, boat, bottle, bus, car, cat, chair, cow, dining table, dog, horse, motorbike, person, potted plant, sheep, sofa, train, tv/monitor



**Изображение**



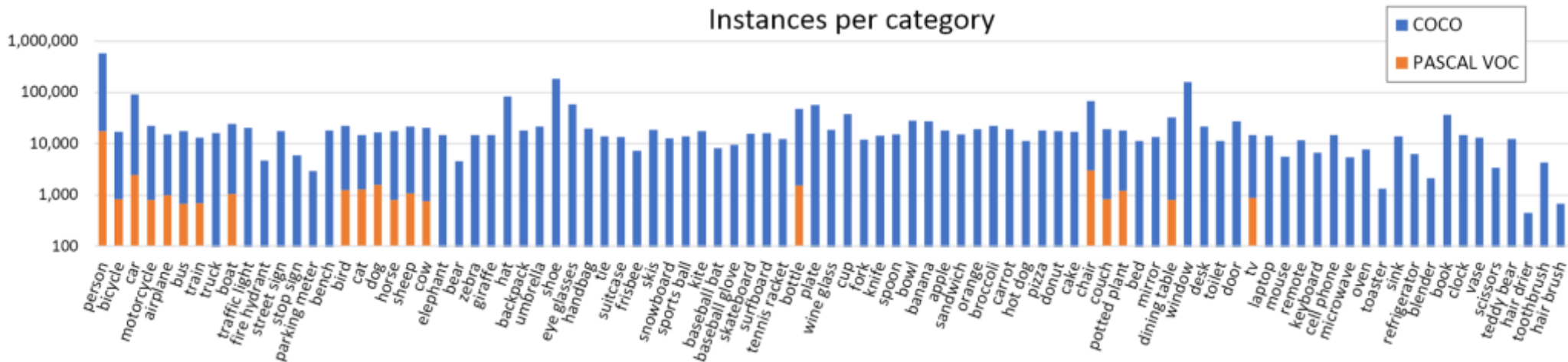
**Разметка**

(разные цвета – разные классы объектов, отдельно размечены границы)

\* The PASCAL Visual Object Classes Homepage [<http://host.robots.ox.ac.uk/pascal/VOC>].

# MS COCO'15

- MS COCO'15 – самая обширная база изображений естественного мира (похожих на PASCAL VOC) с точки зрения количества категорий объектов (80 категорий) и числа изображений, по каждой категории содержится значительное количество изображений (близкое распределение по классам)



\* Lin T.Y., et al. Microsoft COCO: Common objects in context // Lecture Notes in Computer Science. – Vol. 8693. – 2014. – P. 740-755. – [\[https://arxiv.org/pdf/1405.0312\]](https://arxiv.org/pdf/1405.0312).

# Cityscapes

- ❑ Изображения дорожных сцен, полученных с видеорегистратора
- ❑ 5 000 изображений с высококачественной разметкой
- ❑ 20 000 изображений с грубой разметкой
- ❑ 30 классов, объединенных в 8 групп

Пример точной разметки



Цюрих (Швейцария)

Пример грубой разметки



Саарбрюккен (Германия)

\* The Cityscapes Dataset Homepage [<https://www.cityscapes-dataset.com/examples>].

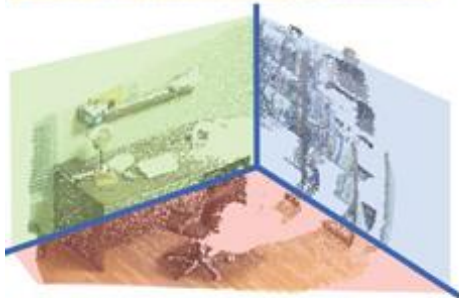
# SUN RGB-D

- SUN RGB-D содержит изображения и разметку сцен внутри помещений для решения нескольких задач (примеры ниже)

Scene Classification



Semantic Segmentation



Room Layout



Detection and Pose



Total Scene Understanding

\* Song S., Lichtenberg S.P., Xiao J. SUN RGB-D: A RGB-D Scene Understanding Benchmark Suite  
[\[https://3dvision.princeton.edu/projects/2015/SUNrgbd/poster.pdf\]](https://3dvision.princeton.edu/projects/2015/SUNrgbd/poster.pdf).

---

# ПОКАЗАТЕЛИ КАЧЕСТВА СЕМАНТИЧЕСКОЙ СЕГМЕНТАЦИИ



# Рассматриваемые показатели качества

---

- ❑ Попиксельная точность (pixel accuracy)
- ❑ Средняя по픽сельная точность по классам наблюдаемых объектов (mean pixel accuracy over classes)
- ❑ Метрика IoU (Intersection over Union) или индекс Жаккара (Jaccard index)
- ❑ Индекс Дайса (Dice index) или F1-score



# Попиксельная точность

- **Попиксельная точность** (pixel accuracy) определяется следующим образом:

$$Accuracy = \frac{TP + TN}{TP + TN + FP + FN}$$

где  $TP + TN$  – количество правильно проклассифицированных пикселей (true positives + true negatives),

$TP + TN + FP + FN$  – общее количество пикселей

		Предсказание	
		True	False
Разметка	True	TP	FN
	False	FP	TN



# Средняя попиксельная точность по классам

---

- ❑ Попиксельная точность отражает количество правильно проклассифицированных пикселей
- ❑ Попиксельная точность не является показательной в случае несбалансированности классов
- ❑ Поэтому вводится средняя попиксельная точность, вычисленная для каждого класса в отдельности и усредненная по количеству классов, – **средняя попиксельная точность по классам** (mean pixel accuracy over classes)



# Метрика IoU (1)

- **Метрика IoU** (Intersection over Union) или индекс Жаккара (Jaccard index)

$$IoU = \frac{TP}{TP + FP + FN}$$

где  $TP$  – количество правильно проклассифицированных пикселей (true positives),

$FP$  – количество пикселей, которые метод проклассифицировал как принадлежащие классу, но они таковыми не являются (false positives),

$FN$  – количество пикселей, которые принадлежат классу, но метод проклассифицировал их как не принадлежащие классу (false negatives)

		Предсказание	
		True	False
Разметка	True	TP	FN
	False	FP	TN

## Метрика IoU (2)

- ❑ Обычно вычисляется среднее значение метрики IoU (Mean IoU) по всем классам, на полном наборе данных
- ❑ Среднее значение метрики IoU может вычисляться как взвешенное среднее по соответствующим значениям, полученным для отдельных классов. Веса назначаются равными частотам встречаемости пикселей каждого класса
- ❑ При вычислении метрики IoU класс «фон» может учитываться, а может не учитываться
- ❑ Пиксели на границах объектов могут не учитываться или учитываться с меньшим весом по сравнению с «внутренними» пикселями



# Индекс Дайса

- **Индекс Дайса** (Dice index) или F1-score определяется следующим образом:

$$DICE = \frac{2 \cdot TP}{2 \cdot TP + FP + FN}$$

- Индекс Дайса отличается от индекса Жаккара одним коэффициентом
- Указанные индексы связаны соотношениями:

$$IoU = \frac{DICE}{2 - DICE}, \quad DICE = \frac{2 \cdot IoU}{1 + IoU}$$

- Как следствие, не имеет смысла одновременно определять оба показателя, достаточно вычислять какой-то один показатель



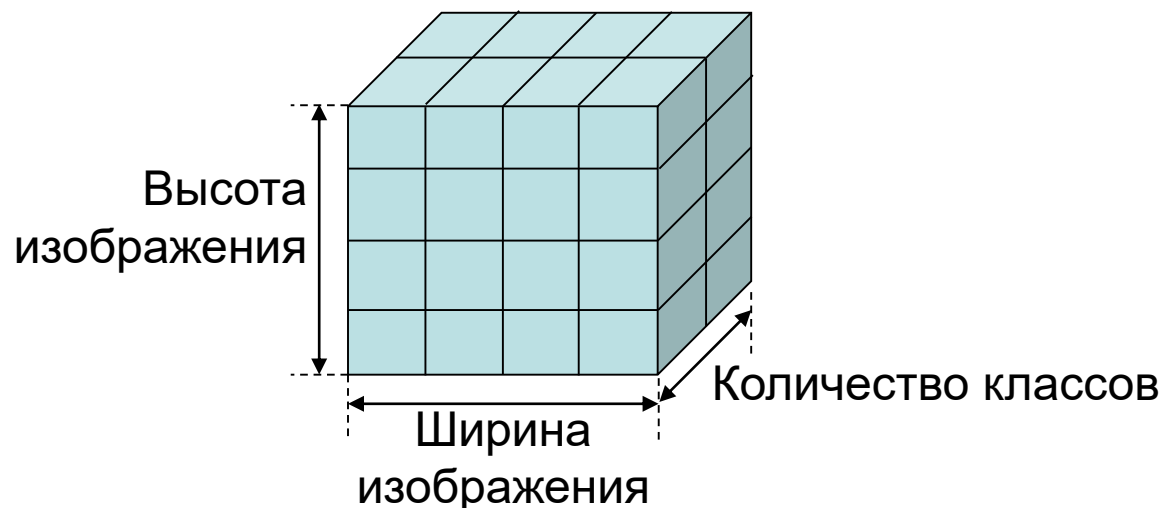
---

# ГЛУБОКИЕ МОДЕЛИ ДЛЯ СЕМАНТИЧЕСКОЙ СЕГМЕНТАЦИИ ИЗОБРАЖЕНИЙ



# Проблема применения глубоких моделей для семантической сегментации (1)

- При решении задачи семантической сегментации изображений на выходе модели должен быть трехмерный тензор с элементами, отвечающими достоверности принадлежности каждого пикселя к определенному классу



- **Каким образом обеспечить на выходе тензор, у которого пространственные размерности совпадают с разрешением входного изображения?**

# Проблема применения глубоких моделей для семантической сегментации (2)

- Возможные способы решения проблемы получения выходного тензора, пространственная размерность которого совпадает с разрешением входного изображения:
  - Интерполяция
  - Построение архитектуры «кодировщик-декодировщик» (encoder-decoder architecture)
  - Применение графовых вероятностных методов, в частности, условных случайных полей (Conditional Random Fields, CRF)
- Интерполяция – простой и понятный способ, но не позволяет получить качественный результат, в особенности, для небольших объектов и на границах объектов
- Два оставшихся метода являются более перспективными с точки зрения качества результатов



# Рассматриваемые модели (1)

## □ FCNs, SegNet, U-Net (2015)

Полностью сверточные сети

- Long J., Shelhamer E., Darrel T. Fully Convolutional Networks for Semantic Segmentation. – 2015. – [<https://arxiv.org/pdf/1411.4038.pdf>], [<https://ieeexplore.ieee.org/document/7298965>] (опубликованная версия).
- Badrinarayanan V., Kendall A., Cipolla R. SegNet: A Deep Convolutional Encoder-Decoder Architecture for Image Segmentation. – 2015. – [<https://arxiv.org/pdf/1511.00561.pdf>], [<https://ieeexplore.ieee.org/document/7803544>] (опубликованная версия).
- Ronneberger O., Fischer P., Brox T. U-net: Convolutional networks for biomedical image segmentation. – 2015. – [<https://arxiv.org/pdf/1505.04597.pdf>], [[https://link.springer.com/chapter/10.1007/978-3-319-24574-4\\_28](https://link.springer.com/chapter/10.1007/978-3-319-24574-4_28)] (опубликованная версия).

# Рассматриваемые модели (2)

## ❑ *PSPNet (2016)*

- Zhao H., Shi J., Qi X., Wang X., Jia J. Pyramid scene parsing network. – 2016. – [<https://arxiv.org/pdf/1612.01105.pdf>], [<https://ieeexplore.ieee.org/document/8100143>] (опубликованная версия).

## ❑ *ICNet (2017)*

- Zhao H., Qi X., Shen X., Shi J., Jia J. ICNet for Real-Time Semantic Segmentation on High-Resolution Images. – 2017. – [<https://arxiv.org/pdf/1704.08545.pdf>], [[https://link.springer.com/chapter/10.1007/978-3-030-01219-9\\_25](https://link.springer.com/chapter/10.1007/978-3-030-01219-9_25)] (опубликованная версия).

Пирамиды признаков  
с разных масштабов



# Рассматриваемые модели (3)

Применение CRF и поиск замены для CRF  
для ускорения вычислений

## □ *DeepLab-v1, \*-v2, \*-v3, \*v3+ (2014-2018)*

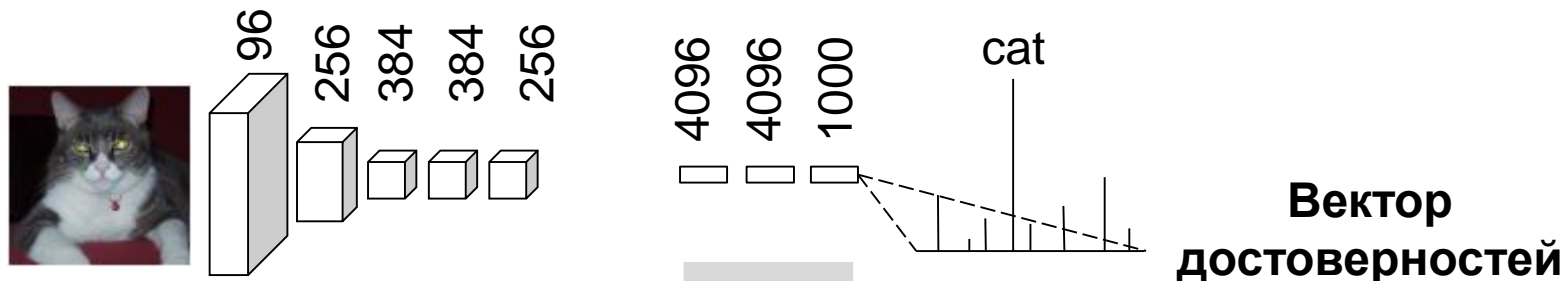
- Chen L.-C., Papandreou G., Kokkinos I., Murphy K., Yuille A.L. Semantic Image Segmentation with Deep Convolutional Nets and Fully Connected CRFs. – 2014. – [<https://arxiv.org/pdf/1412.7062.pdf>].
- Chen L.-C., Papandreou G., Kokkinos I., Murphy K., Yuille A.L. DeepLab: Semantic Image Segmentation with Deep Convolutional Nets, Atrous Convolution, and Fully Connected CRFs. – 2017. – [<https://arxiv.org/pdf/1606.00915.pdf>], [<https://ieeexplore.ieee.org/document/7913730>] (опубликованная версия).
- Chen L.-C., Papandreou G., Schroff F., Adam H. Rethinking Atrous Convolution for Semantic Image Segmentation. – 2017. – [<https://arxiv.org/pdf/1706.05587.pdf>].
- Chen L.-C., Zhu Y., Papandreou G., Schoff F., Adam H. Encoder-Decoder with Atrous Separable Convolution for Semantic Image Segmentation. – 2018. – [<https://arxiv.org/pdf/1802.02611.pdf>].

# FCN (1)

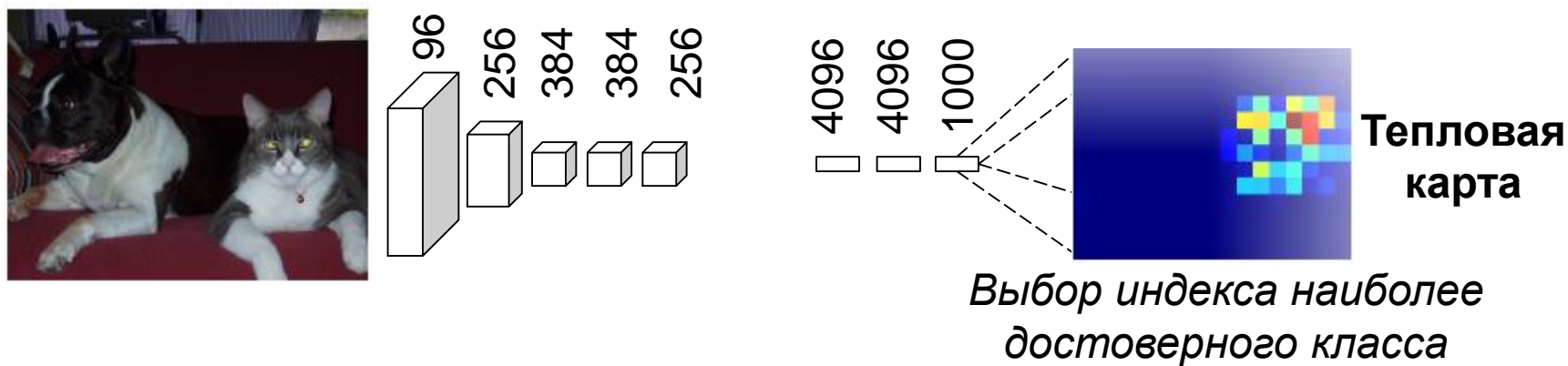
- FCNs (Fully Convolutional Networks) – модели, цель разработки которых адаптировать классификационные сверточные сети (AlexNet, VGG, GoogLeNet) для решения задачи семантической сегментации
  - Классификационные модели принимают на вход изображение фиксированного размера
  - Классификационные модели возвращают вектор достоверностей, отражающих степень принадлежности изображения каждому допустимому классу объектов
  - Заменяем полносвязные слои на сверточные, чтобы применять модель к изображениям произвольного размера
  - Таким образом, реализуем «скользящее» окно и для каждого его положения получим вектор достоверностей

\* Long J., Shelhamer E., Darrel T. Fully Convolutional Networks for Semantic Segmentation. – 2015. – [<https://arxiv.org/pdf/1411.4038.pdf>], [<https://ieeexplore.ieee.org/document/7298965>].

# FCN (2)



«Замена» полносвязных слоев на полностью сверточные (другая интерпретация)



\* Long J., Shelhamer E., Darrel T. Fully Convolutional Networks for Semantic Segmentation. – 2015. – [<https://arxiv.org/pdf/1411.4038.pdf>], [<https://ieeexplore.ieee.org/document/7298965>].

# FCN (3)

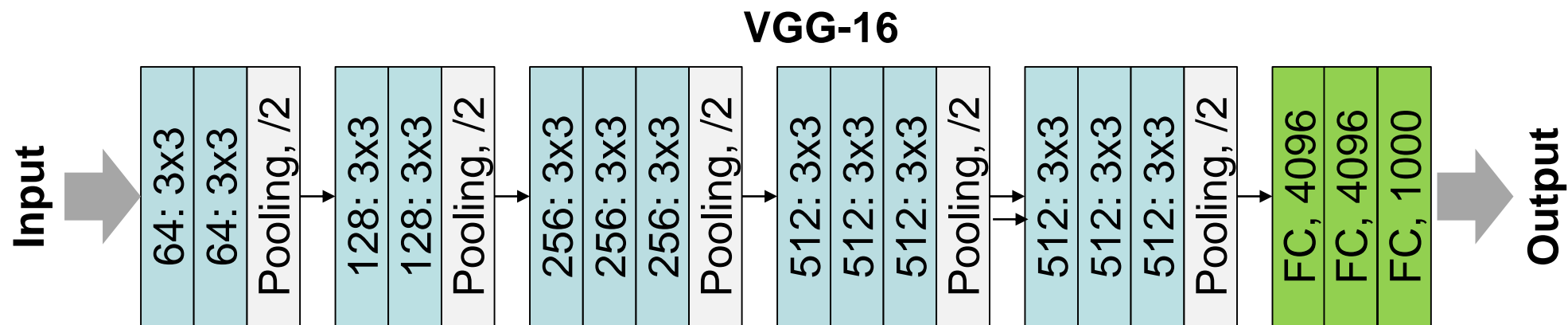
- ❑ Полносвязные слои преобразуются в полностью сверточные слои с использованием одномерной свертки (ядро  $1 \times 1$ ). Слои остаются теми же, а такая «замена» является эквивалентной
- ❑ Входное изображение может быть произвольного разрешения
- ❑ На выходе модели формируется трехмерный тензор, в котором количество каналов совпадает с количеством классов объектов, а пространственные размеры соответствуют количеству возможных положений «скользящего» окна на входном изображении
- ❑ Выбор индекса класса с максимальным значением достоверности позволяет построить тепловую карту (heatmap), которая рассматривается как результат семантической сегментации, но более низкого разрешения

# FCN (4)

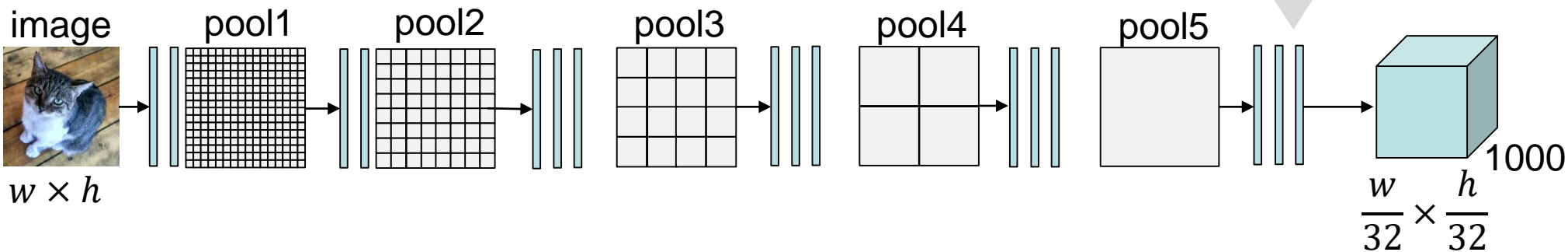
- ❑ Повышение разрешения карт признаков, включая выходную, выполняется с использованием обратных сверток (deconvolution, backwards или transposed convolution)
- ❑ Для улучшения качества результирующей карты предлагается использовать карты признаков, полученные на промежуточных слоях модели, т.е. признаки более низкого уровня
- ❑ Авторы FCN\* в качестве базовых моделей использовали AlexNet, VGG, GoogLeNet
- ❑ VGG-16 показала лучшие результаты, поэтому далее рассматривается FCN, построенная на базе VGG-16

\* Long J., Shelhamer E., Darrel T. Fully Convolutional Networks for Semantic Segmentation. – 2015. – [<https://arxiv.org/pdf/1411.4038.pdf>], [<https://ieeexplore.ieee.org/document/7298965>].

# FCN (5)

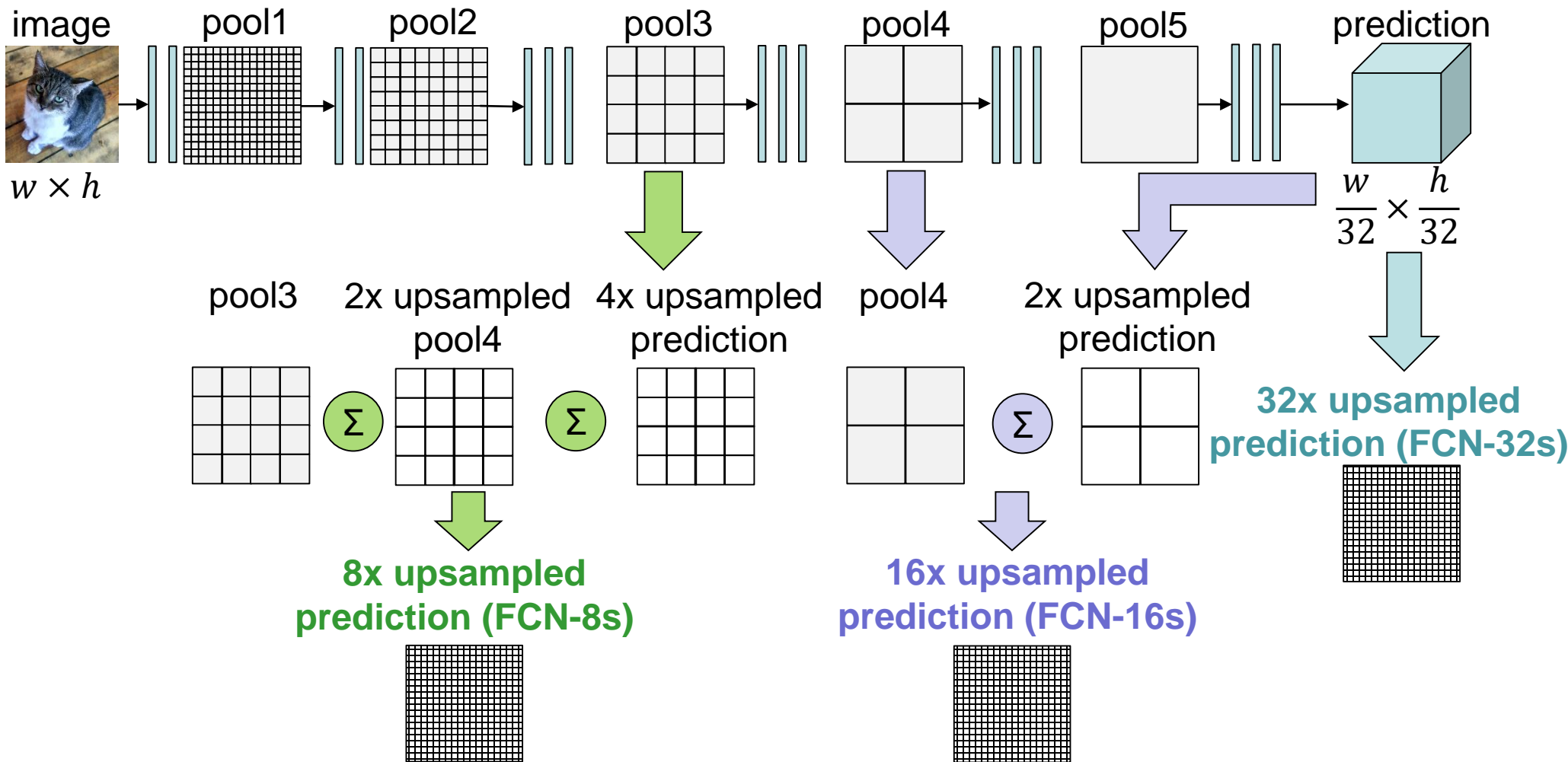


«Замена» полносвязных слоев на полностью сверточные



\* Long J., Shelhamer E., Darrel T. Fully Convolutional Networks for Semantic Segmentation. – 2015. – [<https://arxiv.org/pdf/1411.4038.pdf>], [<https://ieeexplore.ieee.org/document/7298965>].

# FCN (6)



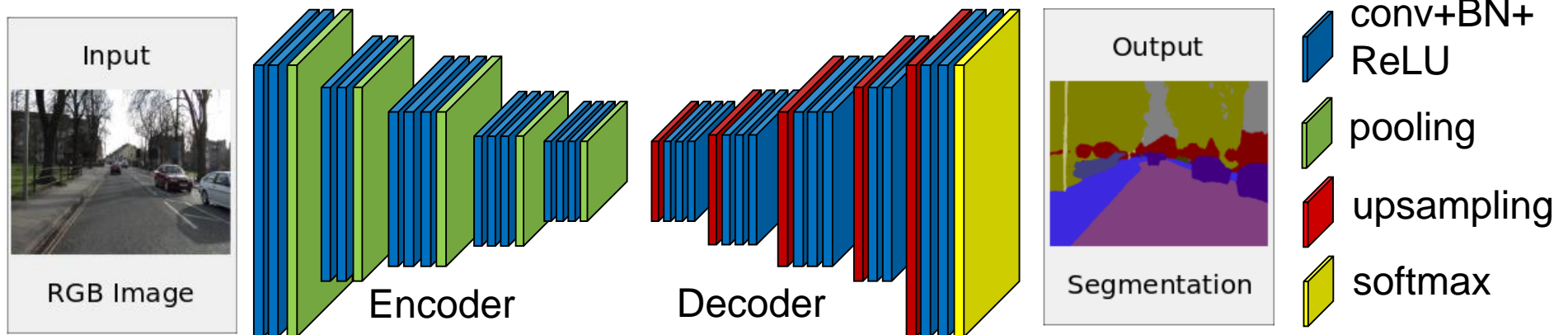
\* Long J., Shelhamer E., Darrel T. Fully Convolutional Networks for Semantic Segmentation. – 2015. – [<https://arxiv.org/pdf/1411.4038.pdf>], [<https://ieeexplore.ieee.org/document/7298965>].

# FCN (7)

- ❑ Замена полносвязных слоев на полностью сверточные в VGG-16:
  - FC 4096 → Conv 4096, 1x1
  - FC 4096 → Conv 4096, 1x1
  - FC 1000 → Conv 1000, 1x1
- ❑ После замены на вход модели можно подавать изображение произвольного разрешения  $w \times h$ , на выходе модели формируется карта достоверностей размера  $\frac{w}{32} \times \frac{h}{32} \times 1000$
- ❑ Пространственная размерность выходной карты повышается посредством применения обратной свертки с шагом повышающей дискретизации 32 (upsampling stride). Формируется «грубый» результат сегментации (модель FCN-32s)
- ❑ Более точные результаты получаются при использовании признаков с промежуточных слоев (модели FCN-16s, FCN-8s)

# SegNet (1)

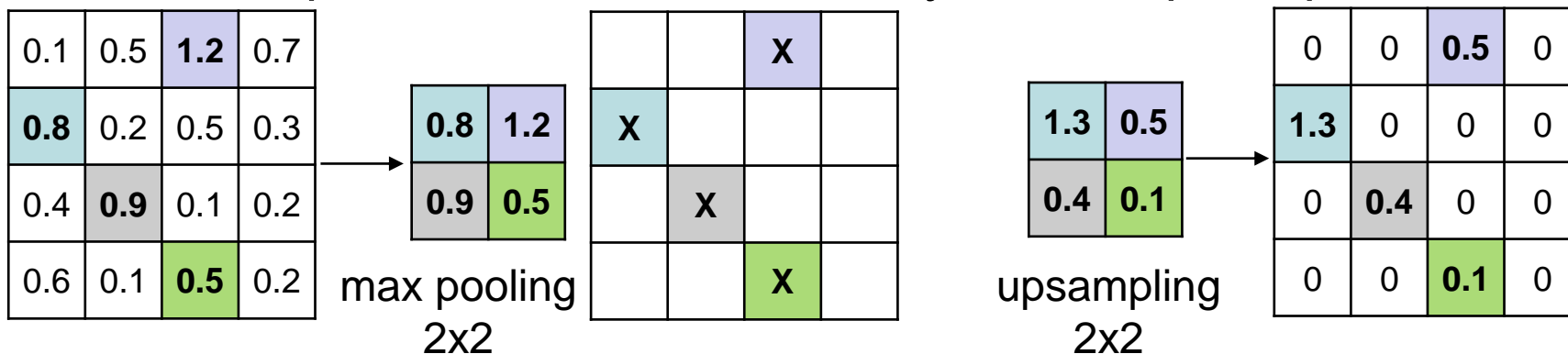
- ❑ SegNet – глубокая модель для семантической сегментации, построенная на базе архитектуры «кодировщик-декодировщик» (encoder-decoder)
- ❑ Цель разработки – создать сеть для распознавания дорожного движения и интерьеров, эффективную с точки зрения использования памяти и вычислительной сложности



\* Badrinarayanan V., Kendall A., Cipolla R. SegNet: A Deep Convolutional Encoder-Decoder Architecture for Image Segmentation. – 2015. – [<https://arxiv.org/pdf/1511.00561.pdf>], [<https://ieeexplore.ieee.org/document/7803544>].

# SegNet (2)

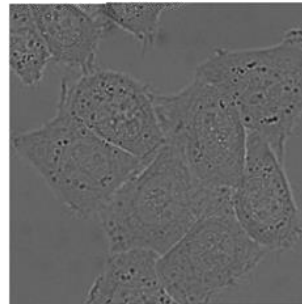
- ❑ Кодировщик содержит сверточную часть сети VGG-16
- ❑ Декодировщик строится зеркально кодировщику:
  - Каждому сверточному слою в кодировщике соответствует сверточный слой в декодировщике в обратном порядке
  - Каждой операции пространственного объединения (pooling) соответствует операция повышающей дискретизации (upsampling). Индексы на каждом слое максимального объединения в кодировщике сохраняются и используются в декодировщике для соответствующей карты признаков



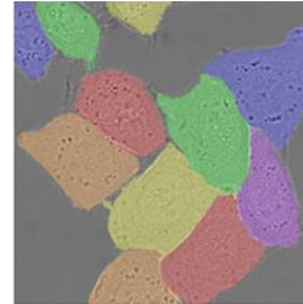
# U-Net (1)

- ❑ Авторы U-Net предлагают модель и стратегию обучения, которая основана на дополнении данных за счет их трансформации (data augmentation) для более эффективного использования небольшого набора аннотированных образцов
- ❑ U-Net – модель, продемонстрировавшая хорошие результаты, в частности, на задаче сегментации нейронных структур в электронно-микроскопических стопках (segmentation of neuronal structures in electron microscopic stacks)

Входное  
изображение



Нейронные  
структуры



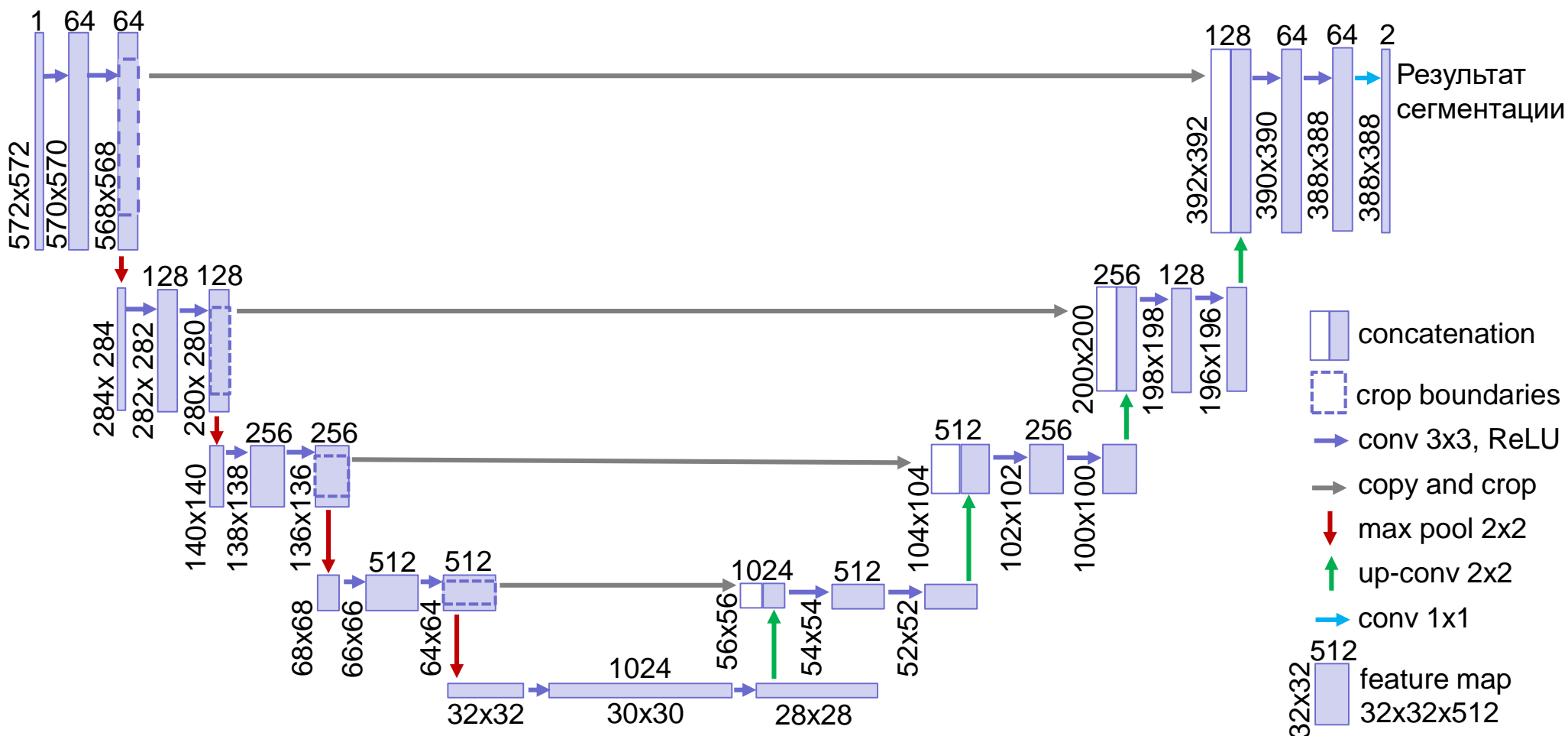
\* Ronneberger O., Fischer P., Brox T. U-Net: Convolutional networks for biomedical image segmentation. – 2015. – [<https://arxiv.org/pdf/1505.04597.pdf>].

# U-Net (2)

- Топология U-Net состоит в двух веток:
  - **«Сжимающий путь»** (contracting path) – сверточная сеть из последовательности блоков, содержащих две свертки  $3 \times 3$  (без дополнения краев), после каждой из которых следует «положительная срезка» (ReLU), в конце блока применяется операция пространственного объединения (max pooling) с ядром  $2 \times 2$  и шагом 2
  - **«Разжимающий путь»** (expansive path) включает операцию повышающей дискретизации (upsampling); свертку  $2 \times 2$ , снижающую количество каналов вдвое (upsconv); конкатенацию с соответствующей картой признаков из «сжимающего пути», которая предварительно обрезана; две свертки  $3 \times 3$ , после каждой из которых следует ReLU



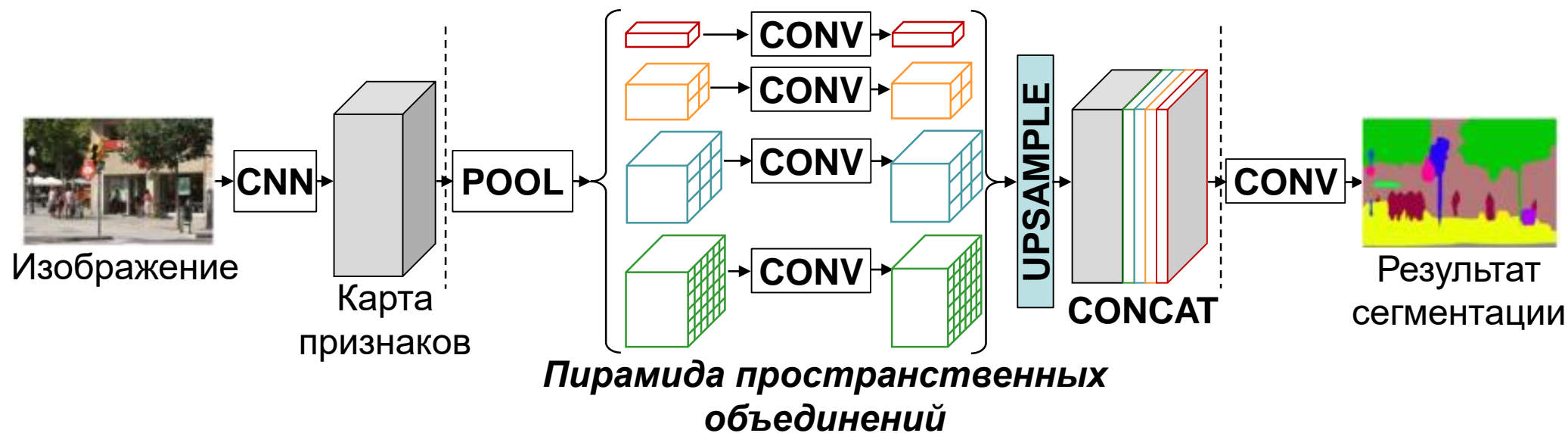
# U-Net (3)



\* Ronneberger O., Fischer P., Brox T. U-Net: Convolutional networks for biomedical image segmentation. – 2015. – [<https://arxiv.org/pdf/1505.04597.pdf>].

# PSPNet (1)

- ❑ PSPNet (Pyramid Scene Parsing) – модель, которая использует построение пирамиды карт признаков разного масштаба для учета информации с разных уровней детализации
- ❑ PSPNet показала лучшие результаты на ImageNet Scene Parsing Challenge 2016, PASCAL VOC 2012 и Cityscapes в 2016 году



\* Zhao H., Shi J., Qi X., Wang X., Jia J. Pyramid scene parsing network. – 2016. – [<https://arxiv.org/pdf/1612.01105.pdf>], [<https://ieeexplore.ieee.org/document/8100143>].

# PSPNet (2)

## □ **Карта признаков**

– Для извлечения признаков используется сверточная часть модели ResNet, к которой применены свертки с пропусками (dilated convolutions)

## □ **Пирамида пространственных объединений (Pyramid Pooling Module)**

– Пространственное объединение (POOL)

- Красная карта: результат глобального среднего объединения по каждому каналу карты признаков (самый «грубый» уровень)
- Оранжевая карта: результат пространственного объединения по регионам, полученным при разбиении карты признаков на 2x2 блока
- Голубая карта: результат объединения по регионам, полученным при разбиении карты признаков на 3x3 блока
- Зеленая карта: результат объединения по регионам, полученным при разбиении карты признаков на 6x6 блоков



# PSPNet (3)

- Промежуточные свертки (набор слоев CONV)
  - Свертки с ядрами  $1 \times 1$  для уменьшения количества каналов, т.е. снижения представления контекста до  $\frac{1}{N}$  от исходного, где  $N$  – количество уровней пирамиды
  - В представленном примере  $N = 4$ , если количество каналов входной карты составляет 2048, то на выходе каждого уровня пирамиды количество каналов – 512
- Повышающая дискретизация (UPSAMPLE)
  - Применение билинейной интерполяции для увеличения размерности карт признаков до исходной карты
- Конкатенация карт признаков (CONCAT)
  - Конкатенация исходной карты признаков с картами, полученными в результате повышающей дискретизации

## □ **Результат сегментации**

- Финальная свертка (CONV)



# PSPNet (4)

---

- ❑ Особенности обучения:
  - Введена вспомогательная функция потерь (auxiliary loss) с промежуточного слоя модели
  - Вспомогательная функция потерь помогает оптимизировать процесс обучения, в то время как основная функция несет полную ответственность за решение задачи
  - Для балансировки вклада вспомогательной функции потерь вводится весовой коэффициент



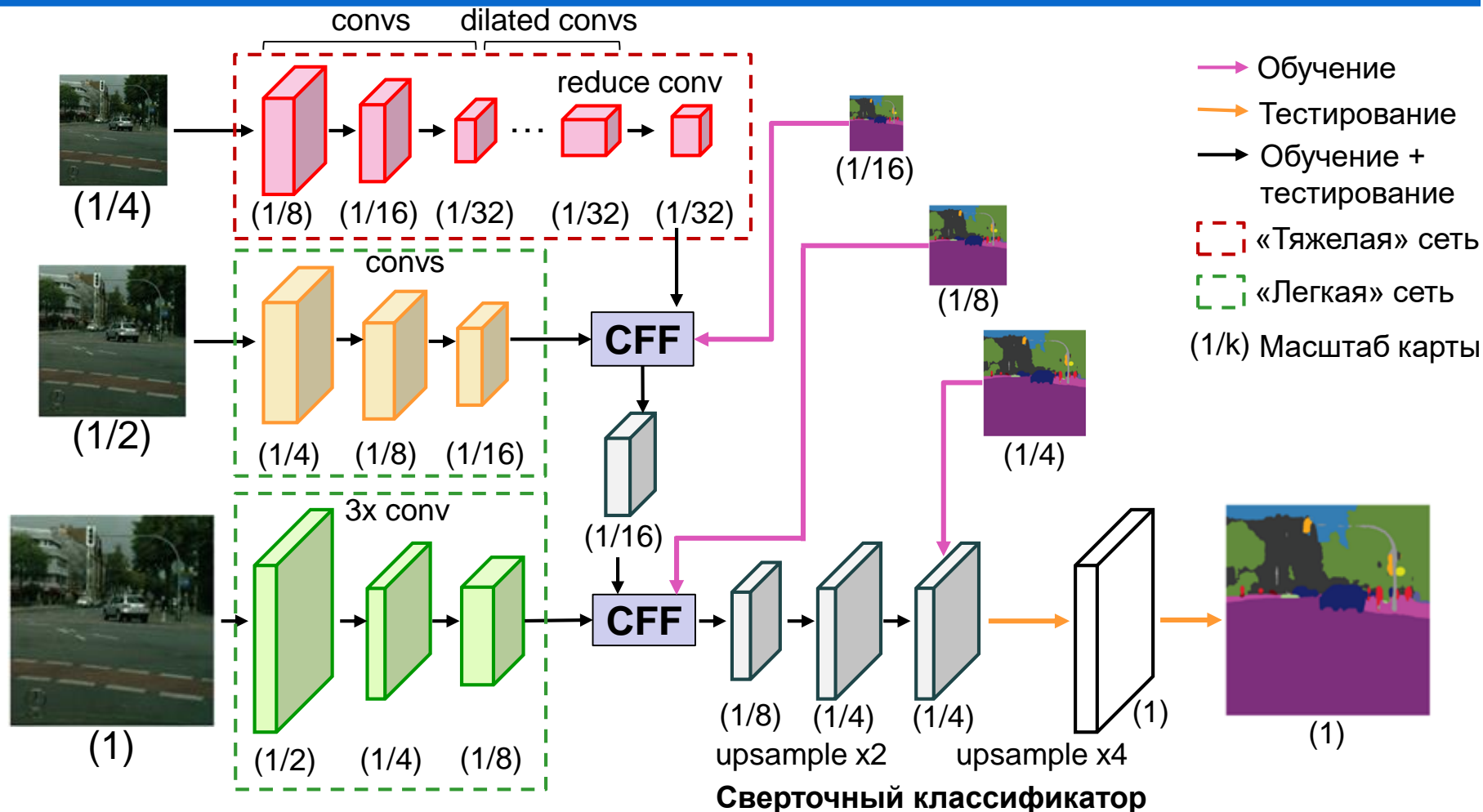
# ICNet (1)

- ❑ ICNet (Image Cascade Network) – модель для семантической сегментации изображений в реальном времени (на одном графическом процессоре), которая основана на построении каскада карт признаков для разных масштабов исходного изображения
- ❑ Вход модели – пирамида масштабов исходного изображения
- ❑ Для каждого изображения обеспечивается построение карт признаков с использованием сверточных сетей
  - Чем крупнее изображение в пирамиде, тем проще используемая сверточная сеть
  - При построении карты признаков на каждом следующем масштабе используются признаки с предыдущих масштабов

\* Zhao H., Qi X., Shen X., Shi J., Jia J. ICNet for Real-Time Semantic Segmentation on High-Resolution Images. – 2017. – [<https://arxiv.org/pdf/1704.08545.pdf>], [[https://link.springer.com/chapter/10.1007/978-3-030-01219-9\\_25](https://link.springer.com/chapter/10.1007/978-3-030-01219-9_25)].

# ICNet (2)

Пирамида разных масштабов



\* Zhao H., Qi X., Shen X., Shi J., Jia J. ICNet for Real-Time Semantic Segmentation on High-Resolution Images. – 2017. – [<https://arxiv.org/pdf/1704.08545.pdf>], [[https://link.springer.com/chapter/10.1007/978-3-030-01219-9\\_25](https://link.springer.com/chapter/10.1007/978-3-030-01219-9_25)].

# ICNet (3)

- ❑ Сверточная сеть на каждом слое снижает пространственные размеры карты признаков, либо оставляет их неизменными
- ❑ Слияние карт признаков с соседних масштабов обеспечивается с помощью **модуля слияния каскадных признаков** (Cascade Feature Fusion, CFF)
- ❑ Модуль слияния каскадных признаков позволяет восстанавливать и улучшать результат сегментации с меньшими вычислительными затратами
  
- ❑ Далее рассматривается структура модуля слияния каскадных признаков и схема его работы на этапах обучения и тестирования построенной модели

\* Zhao H., Qi X., Shen X., Shi J., Jia J. ICNet for Real-Time Semantic Segmentation on High-Resolution Images. – 2017. – [<https://arxiv.org/pdf/1704.08545.pdf>], [[https://link.springer.com/chapter/10.1007/978-3-030-01219-9\\_25](https://link.springer.com/chapter/10.1007/978-3-030-01219-9_25)].



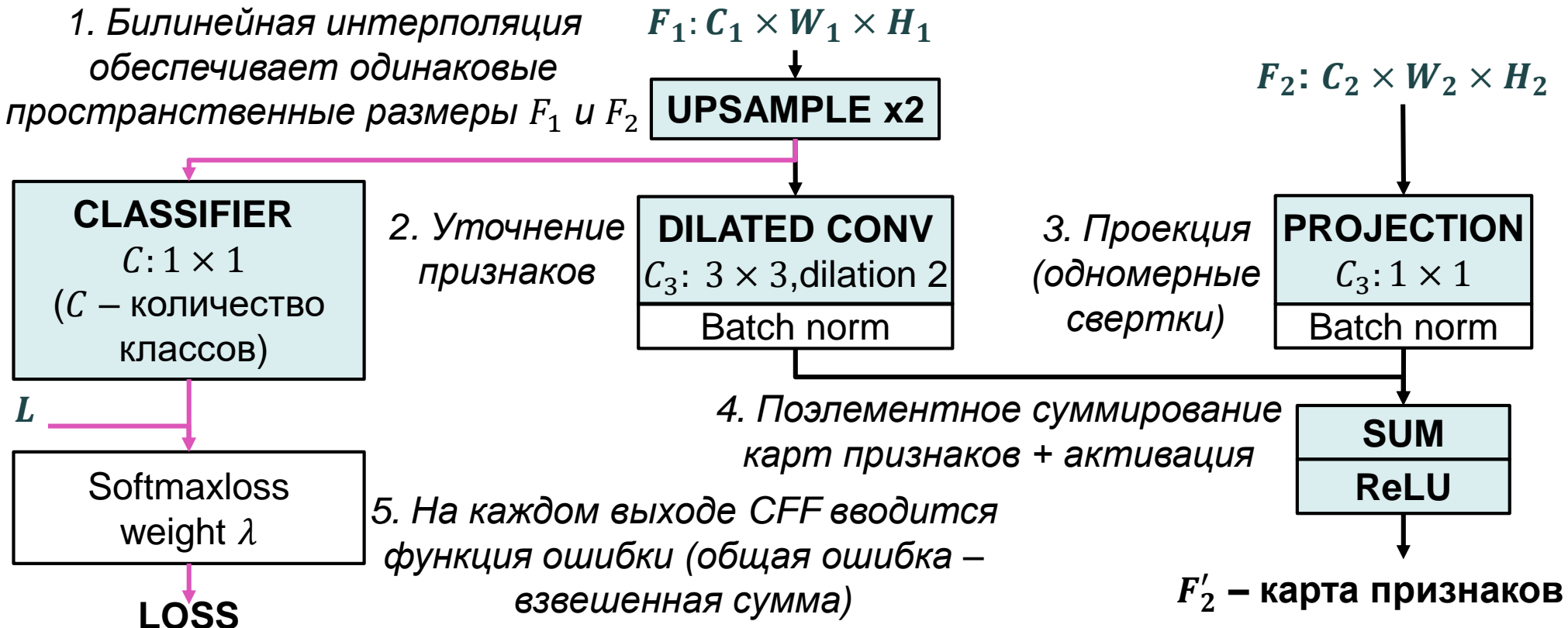
# ICNet (4)

- ❑ **Модуль слияния каскадных признаков** получает на вход три основные компоненты:
  - Карта признаков  $F_1$  размера  $C_1 \times W_1 \times H_1$  (используется при обучении и тестировании)
  - Карта признаков  $F_2$  размера  $C_2 \times W_2 \times H_2$  (используется при обучении и тестировании). Пространственные размеры  $F_2$  вдвое больше  $F_1$
  - Разметка изображения  $L$  размера  $1 \times W_2 \times H_2$  (используется при обучении)
- ❑ В результате слияния карт  $F_1$  и  $F_2$  формируется объединенная карта признаков  $F_2'$ , которая учитывается на следующем (более крупном) масштабе

\* Zhao H., Qi X., Shen X., Shi J., Jia J. ICNet for Real-Time Semantic Segmentation on High-Resolution Images. – 2017. – [<https://arxiv.org/pdf/1704.08545.pdf>], [[https://link.springer.com/chapter/10.1007/978-3-030-01219-9\\_25](https://link.springer.com/chapter/10.1007/978-3-030-01219-9_25)].

# ICNet (5)

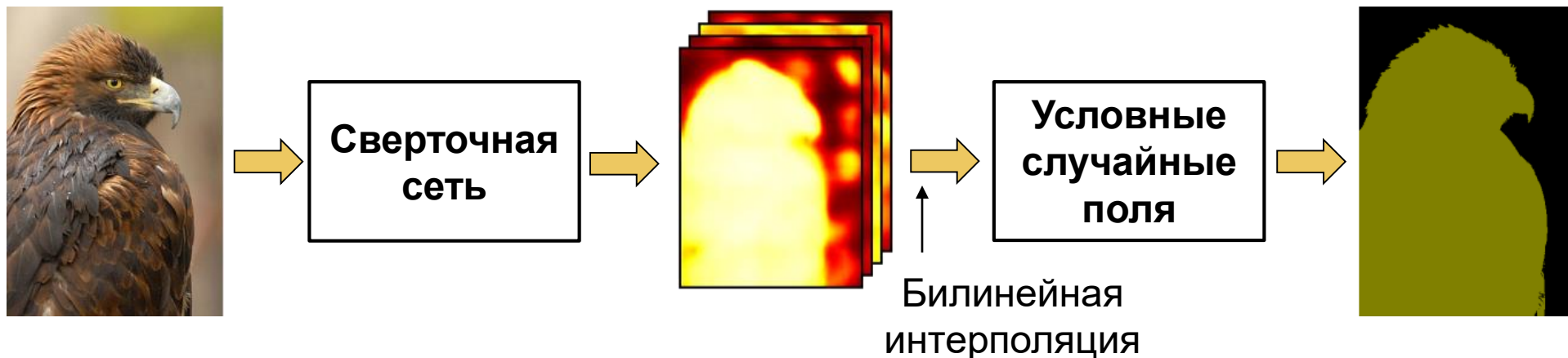
## □ Модуль слияния каскадных признаков:



\* Zhao H., Qi X., Shen X., Shi J., Jia J. ICNet for Real-Time Semantic Segmentation on High-Resolution Images. – 2017. – [<https://arxiv.org/pdf/1704.08545.pdf>], [[https://link.springer.com/chapter/10.1007/978-3-030-01219-9\\_25](https://link.springer.com/chapter/10.1007/978-3-030-01219-9_25)].

# DeepLab-v1 (1)

- DeepLab-v1 – один из широко известных методов семантической сегментации, основанный на построении сверточной нейронной сети для получения «грубой» карты сегментов и последующем применении условных случайных полей (Conditional Random Fields, CRF) для уточнения полученных результатов



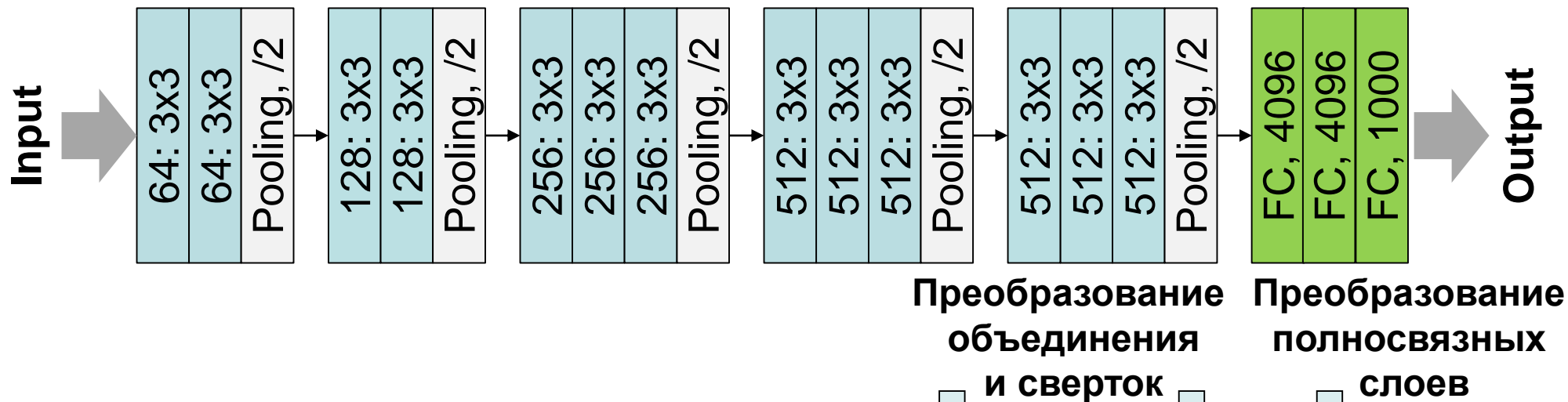
\* Chen L.-C., Papandreou G., Kokkinos I., Murphy K., Yuille A.L. Semantic Image Segmentation with Deep Convolutional Nets and Fully Connected CRFs. – 2014. – [<https://arxiv.org/pdf/1412.7062.pdf>].

# DeepLab-v1 (2)

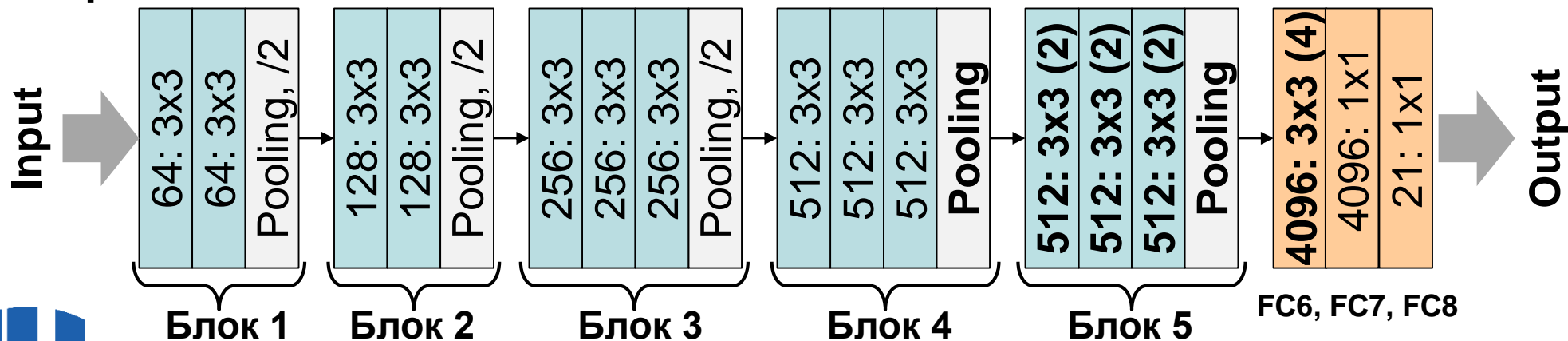
- ❑ Сверточная сеть построена на базе VGG-16, обученной для классификации изображений набора данных ImageNet
- ❑ Основные отличия:
  - Полносвязные слои преобразованы в полностью сверточные, в результате чего на входе сети может быть передано изображение любого разрешения
  - Вход сети – 513x513 пикселей
  - Выход сети – 21, что соответствует количеству классу в наборе данных PASCAL VOC (вместо 1 000)
  - Для последних двух слоев пространственного объединения по максимуму удаляется понижение дискретизации и модифицируются сверточные слои, следующие за объединениями (3 последние свертки и первый полносвязный слой)

# DeepLab-v1 (3)

## VGG-16

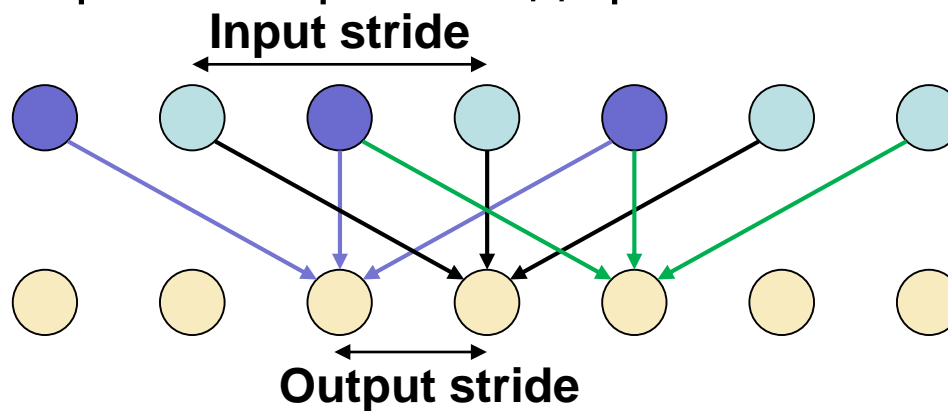


## DeepLab-v1



# DeepLab-v1 (4)

- Модифицированные свертки используют алгоритм «дырки» («atrous» algorithm):
  - Размеры ядер свертки не меняются
  - Ядра накладываются с пропусками («дырками»)
  - Расстояние между элементами ядер для трех сверточных слоев составляет 2, для первого полносвязного – 4
- Пример одномерной свертки с «дыркой» в 2 элемента:



\* Chen L.-C., Papandreou G., Kokkinos I., Murphy K., Yuille A.L. Semantic Image Segmentation with Deep Convolutional Nets and Fully Connected CRFs. – 2014. – [<https://arxiv.org/pdf/1412.7062.pdf>].

# DeepLab-v2 (1)

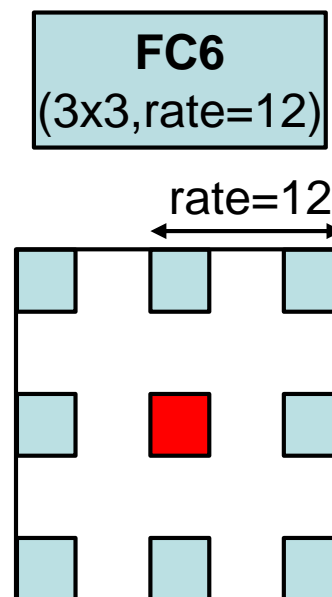
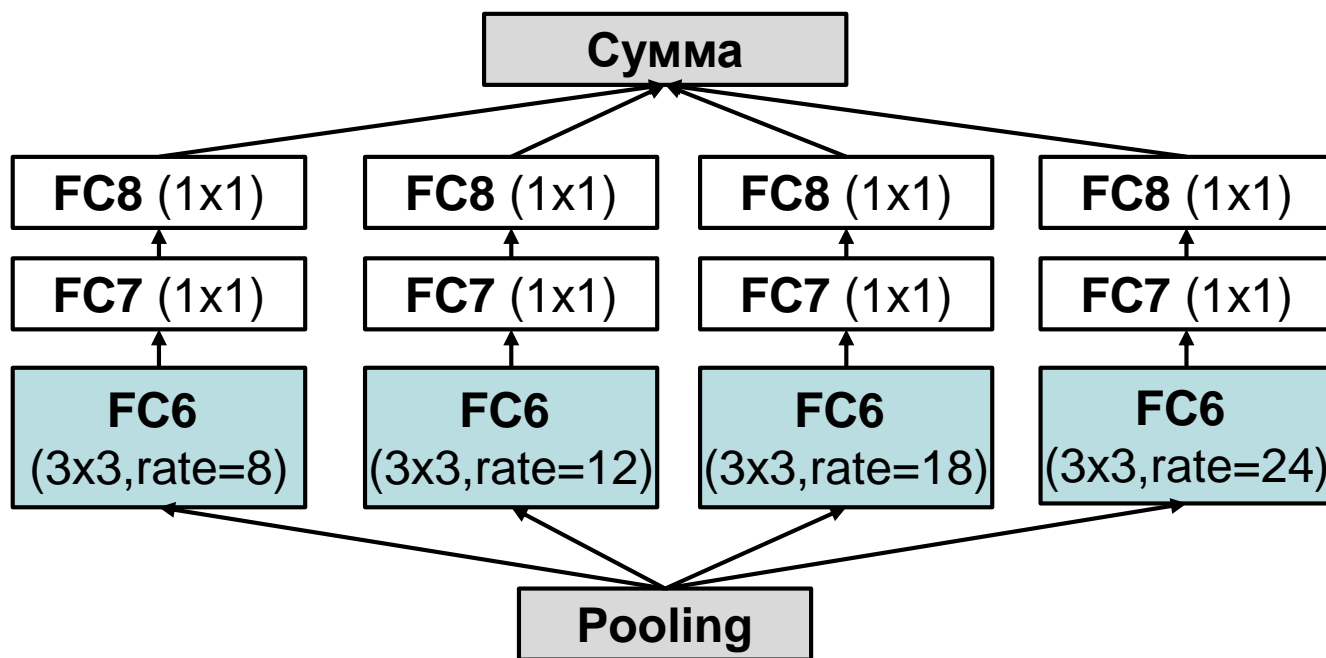
- ❑ DeepLab-v2 – модификация DeepLab-v1, разработанная с целью повышения производительности модели
- ❑ Решается проблема сегментации объектов, принадлежащих одинаковым классам, но имеющих разный масштаб
- ❑ Стандартный подход к решению данной проблемы – масштабирование изображения и агрегация карт признаков, построенных на разных масштабах
- ❑ Для реализации вводится **пространственная пирамида сверток с пропусками** (Atrous Spatial Pyramid Pooling, ASPP)
- ❑ Пространственная пирамида объединяет результаты применения сверток с пропусками для разных размеров «дырок» к некоторой карте признаков

\* Chen L.-C., Papandreou G., Kokkinos I., Murphy K., Yuille A.L. DeepLab: Semantic Image Segmentation with Deep Convolutional Nets, Atrous Convolution, and Fully Connected CRFs. – 2017. – [<https://arxiv.org/pdf/1606.00915.pdf>], [<https://ieeexplore.ieee.org/document/7913730>].



# DeepLab-v2 (2)

- Структура пространственной пирамиды сверток с пропусками (FC6, FC7, FC8 – полностью сверточные слои):



Двумерная свертка с пропусками

\* Chen L.-C., Papandreou G., Kokkinos I., Murphy K., Yuille A.L. DeepLab: Semantic Image Segmentation with Deep Convolutional Nets, Atrous Convolution, and Fully Connected CRFs. – 2017. – [<https://arxiv.org/pdf/1606.00915.pdf>], [<https://ieeexplore.ieee.org/document/7913730>].

# DeepLab-v3 (1)

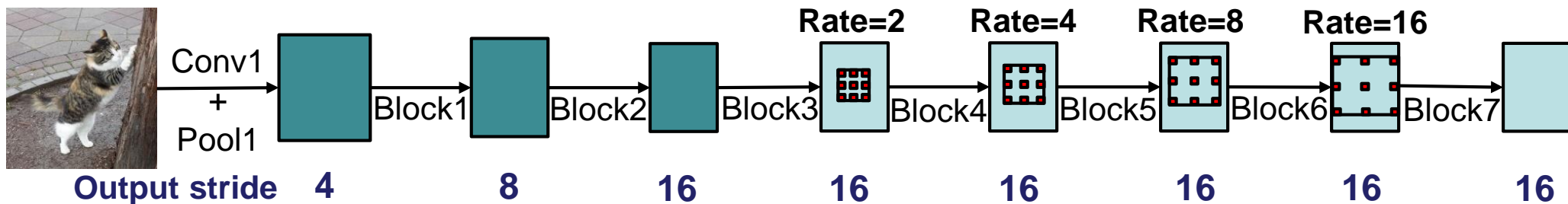
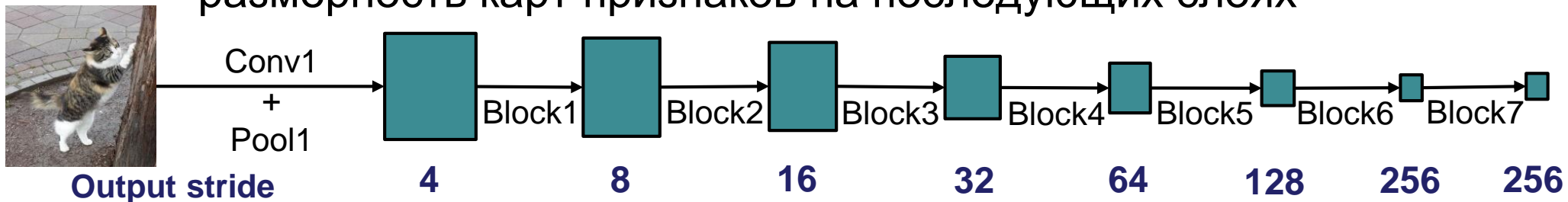
---

- ❑ DeepLab-v3 – развитие модели DeepLab-v2
- ❑ Для решения проблемы сегментации объектов разного масштаба проектируются модули, построенные на свертках с пропусками
- ❑ Указанные модули организуются в каскадные или параллельные преобразования, чтобы захватить контекст с разных масштабов посредством введения разных размеров «дырок»
- ❑ Модуль с параллельными преобразованиями является расширением пространственной пирамиды свертков с пропусками

\* Chen L.-C., Papandreou G., Schroff F., Adam H. Rethinking Atrous Convolution for Semantic Image Segmentation. – 2017. – [<https://arxiv.org/pdf/1706.05587.pdf>].

# DeepLab-v3 (2)

- Структура каскадного модуля:
  - Модель строится из последовательности остаточных блоков
  - Обычные свертки в последних остаточных блоках заменяются на свертки с пропусками, чтобы не снижалась размерность карт признаков на последующих слоях

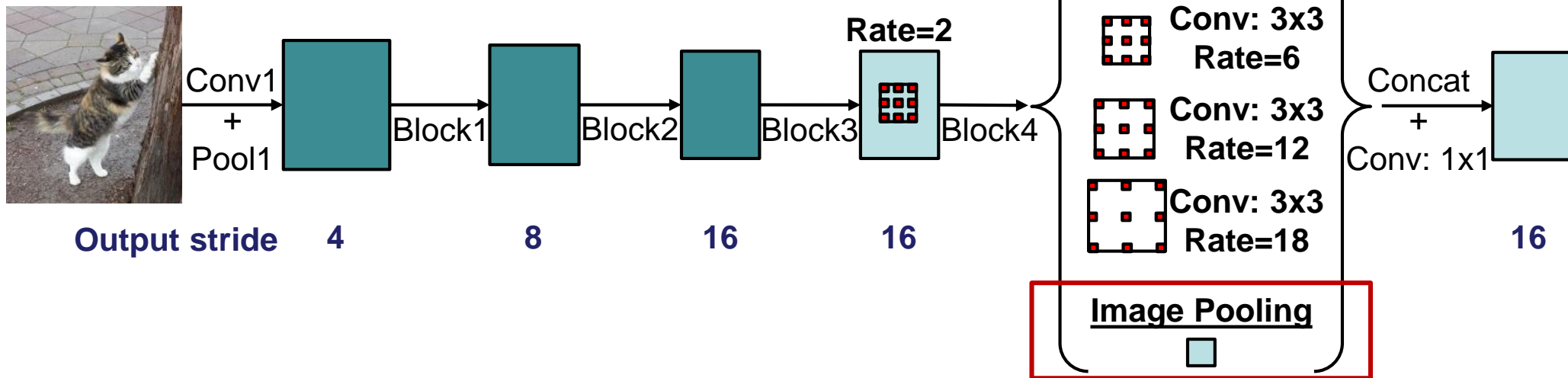


\* Chen L.-C., Papandreou G., Schroff F., Adam H. Rethinking Atrous Convolution for Semantic Image Segmentation. – 2017. – [\[https://arxiv.org/pdf/1706.05587.pdf\]](https://arxiv.org/pdf/1706.05587.pdf).

# DeepLab-v3 (3)

## □ Структура параллельного модуля:

- В пространственную пирамиду сверток с пропусками (Atrous Spatial Pyramid Pooling, ASPP) добавляются признаки уровня исходного изображения (блок Image Pooling)



\* Chen L.-C., Papandreou G., Schroff F., Adam H. Rethinking Atrous Convolution for Semantic Image Segmentation. – 2017. – [\[https://arxiv.org/pdf/1706.05587.pdf\]](https://arxiv.org/pdf/1706.05587.pdf).

# DeepLab-v3 (4)

- Расширение пространственной пирамиды сверток с пропусками (Atrous Spatial Pyramid Pooling, ASPP):
  - Для выделения признаков уровня изображения выполняются следующие преобразования:
    - Вычисление глобального среднего (global average pooling) для последней карты признаков модели
    - Свертка 1x1, 256 фильтров
    - Нормализация по пачке изображений (batch normalization)
    - Билинейная интерполяция карты признаков, чтобы пространственные размеры карт на выходе каждой ветки совпадали
  - Карты со всех ветвей пирамиды конкатенируются, применяются свертки 1x1 (256 фильтров), выполняется нормализация по пачке и финальная свертка 1x1

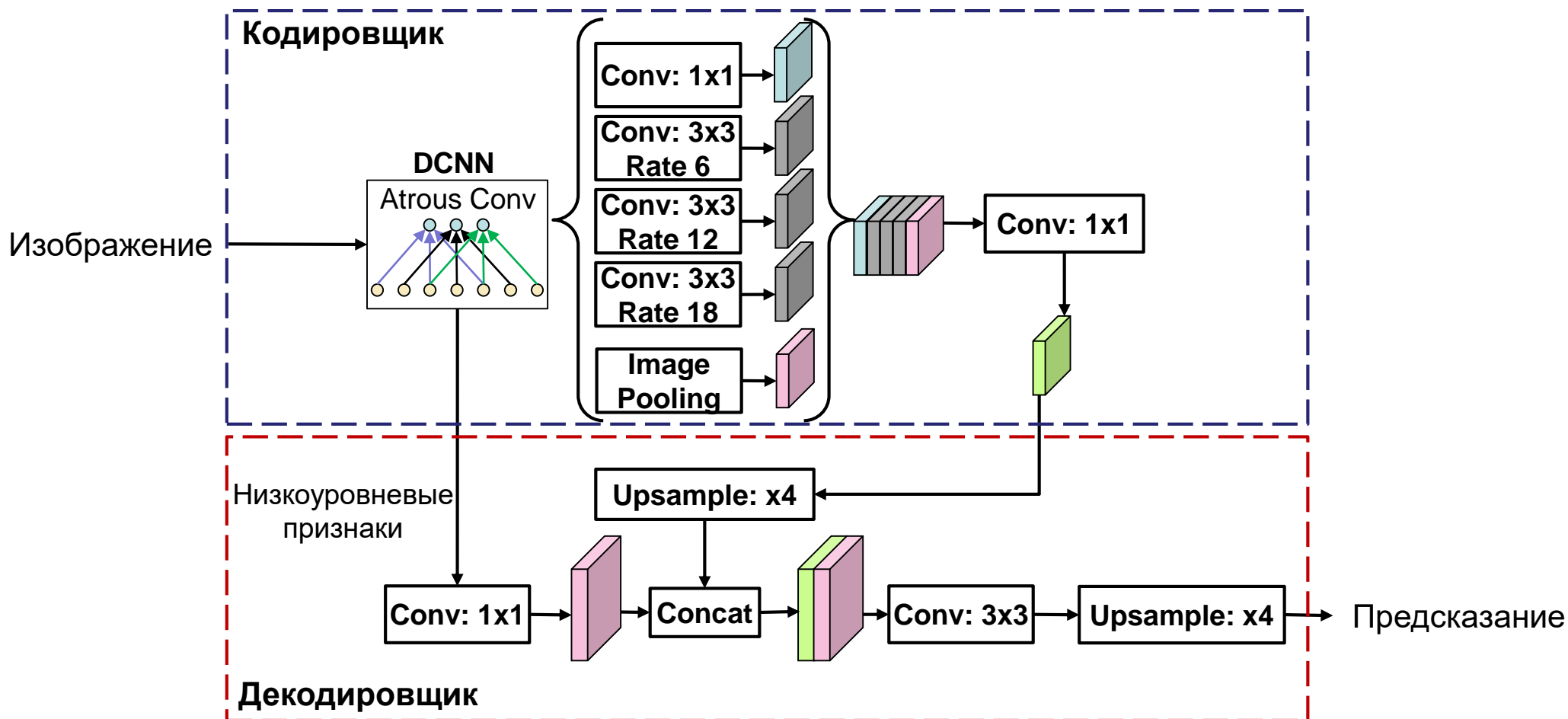
\* Chen L.-C., Papandreou G., Schroff F., Adam H. Rethinking Atrous Convolution for Semantic Image Segmentation. – 2017. – [<https://arxiv.org/pdf/1706.05587.pdf>].

# DeepLab-v3+ (1)

- ❑ DeepLab-v3+ – модификация модели DeepLab-v3, направленная на повышение качества сегментации объектов на границах
- ❑ Модель построена на базе архитектуры «кодировщик-декодировщик»
  - Кодировщик представляет собой базовую часть модели DeepLab-v3 (все преобразования до финальной одномерной свертки)
  - Декодировщик составлен из сверток и операций повышающей дискретизации, применяемых к карте признаков уровня изображения и выходу пространственной пирамиды сверток с пропусками

\* Chen L.-C., Zhu Y., Papandreou G., Schoff F., Adam H. Encoder-Decoder with Atrous Separable Convolution for Semantic Image Segmentation. – 2018. – [<https://arxiv.org/pdf/1802.02611.pdf>].

# DeepLab-v3+ (2)



\* Chen L.-C., Zhu Y., Papandreou G., Schoff F., Adam H. Encoder-Decoder with Atrous Separable Convolution for Semantic Image Segmentation. – 2018. – [<https://arxiv.org/pdf/1802.02611.pdf>].

# DeepLab-v3+ (3)

- Для реализации кодировщика используется DeepLab-v3, ResNet-101 или Xception (соответствующие результаты экспериментов приведены в статье\*)
- С целью оптимизации вычислений свертки с ядрами 3x3 преобразованы в стандартные отделимые по глубине свертки (depthwise separable convolutions)
  - Каждая свертка представляется пространственной (depthwise) и точечной (pointwise) сверткой
  - Пространственная свертка предполагает разбиение карты признаков на слои, применение свертки 3x3 глубины 1 к каждому слою и конкатенацию результатов сверток
  - Точечная свертка – свертка 1x1x<число слоев>

\* Chen L.-C., Zhu Y., Papandreou G., Schoff F., Adam H. Encoder-Decoder with Atrous Separable Convolution for Semantic Image Segmentation. – 2018. – [<https://arxiv.org/pdf/1802.02611.pdf>].

---

# СРАВНЕНИЕ МОДЕЛЕЙ СЕМАНТИЧЕСКОЙ СЕГМЕНТАЦИИ ИЗОБРАЖЕНИЙ

Нижний Новгород, 2020 г.

Семантическая сегментация изображений  
с использованием методов глубокого обучения



# Сравнение моделей семантической сегментации (1)

- ❑ Задача – семантическая сегментация дорожных сцен
- ❑ Тестовый набор данных Cityscapes [<https://www.cityscapes-dataset.com>]
- ❑ Показатель качества – среднее значение IoU (mean Intersection over Union, mean IoU)
- ❑ Сравнение\* «качество-скорость» качественное, поскольку приведенные результаты экспериментов – результаты из оригинальных статей, полученные на разной тестовой инфраструктуре
- ❑ Результаты сравнения на других данных доступно по ссылке\*\*

\* Real-Time Semantic Segmentation on Cityscapes test [<https://paperswithcode.com/sota/real-time-semantic-segmentation-on-cityscapes>].

\*\* Semantic Segmentation [<https://paperswithcode.com/task/semantic-segmentation/latest>].



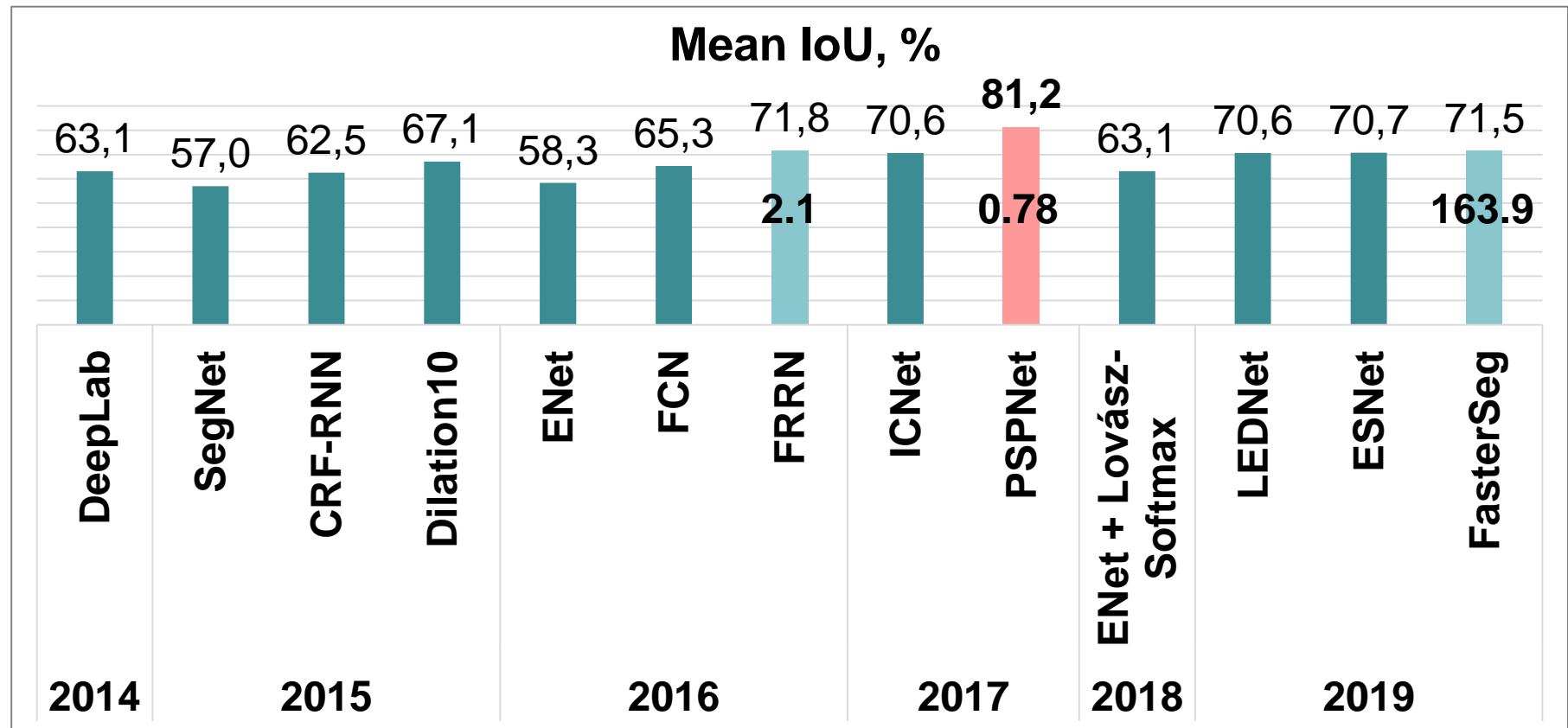
# Сравнение моделей семантической сегментации (2)

Модель	Год	Mean IoU, %	FPS	Время, мс
DeepLab	2014	63.1	0.25	4000
SegNet	2015	57.0	16.7	60
CRF-RNN	2015	62.5	1.4	700
Dilation10	2015	67.1	0.25	4000
ENet	2016	58.3	76.9	13
FCN	2016	65.3	2	500
FRRN	2016	<b>71.8</b>	2.1	469
ICNet	2017	70.6	30.3	33
<b>PSPNet</b>	<b>2017</b>	<b>81.2</b>	<b>0.78</b>	<b>1288</b>
ENet + Lovász-Softmax	2018	63.1	76.9	13
LEDNet	2019	70.6	71	14
ESNet	2019	70.7	63	16
FasterSeg	2019	<b>71.5</b>	163.9	<b>6.1</b>

\* Real-Time Semantic Segmentation on Cityscapes test [<https://paperswithcode.com/sota/real-time-semantic-segmentation-on-cityscapes>].

# Сравнение моделей семантической сегментации (3)

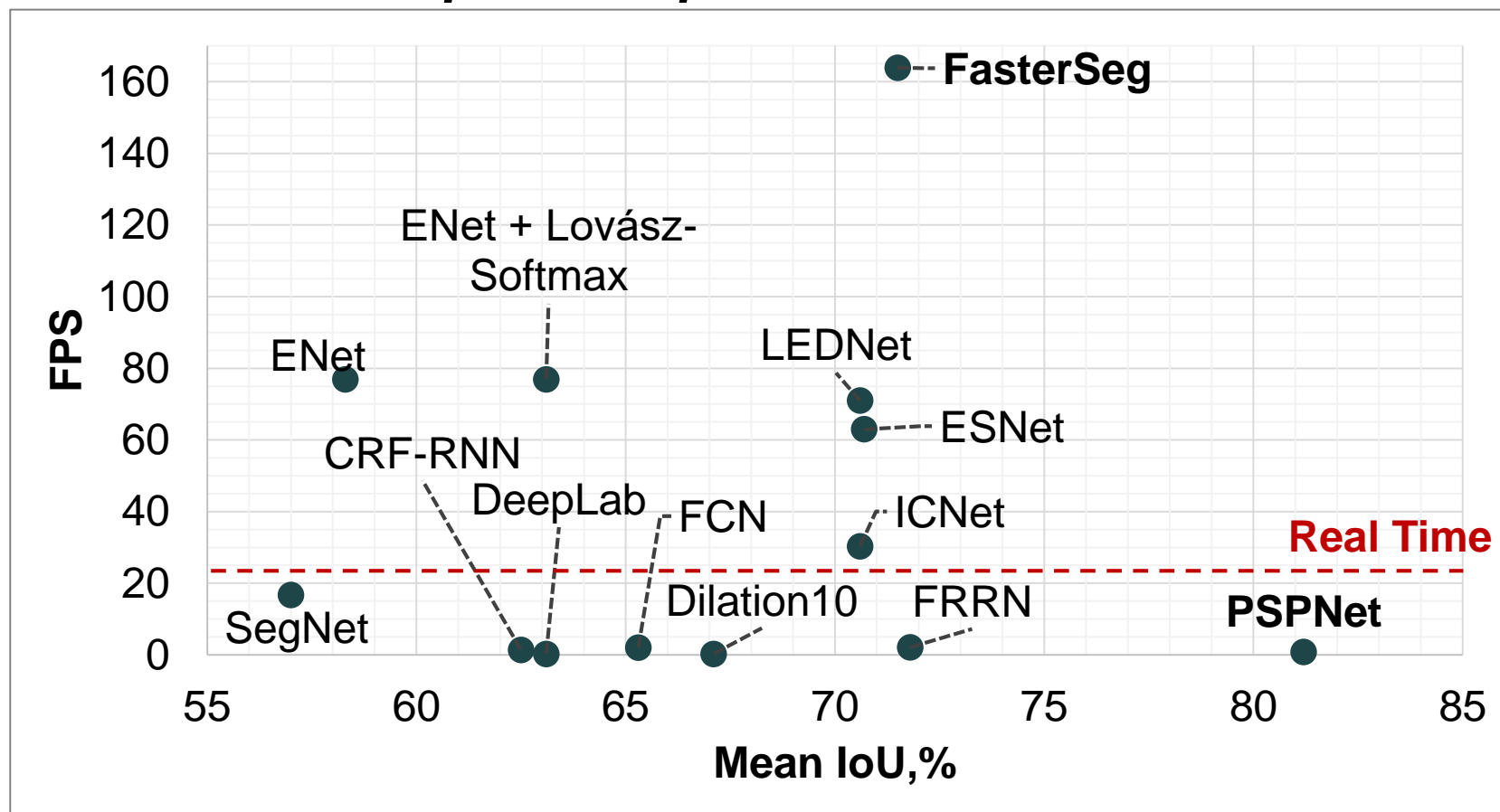
- Изменение среднего значения IoU для избранных моделей:



- **За 2017-2019 качество варьируется от ~70 до ~81%, при этом лучшая модель является самой «медленной»**

# Сравнение моделей семантической сегментации (4)

- ❑ *Выбор эффективной модели – компромисс между качеством и скоростью работы*



# Заключение

- ❑ Множество глубоких моделей для семантической сегментации изображений не ограничивается рассмотренными в лекции
- ❑ Основная проблема при построении моделей – получение выхода, пространственное разрешение которого совпадает с разрешением исходного изображения
- ❑ Рассмотренные модели по-разному решают указанную проблему. Как правило, решение в значительной степени влияет на скорость работы
- ❑ **Оптимальная модель – компромисс между качеством и сложностью**
  - Качество определяется требованиями, предъявляемыми к решению практической задачи
  - Сложность определяется доступными вычислительными ресурсами и требованиями ко времени выполнения

# Основная литература (1)

- Long J., Shelhamer E., Darrel T. Fully Convolutional Networks for Semantic Segmentation. – 2015. – [<https://arxiv.org/pdf/1411.4038.pdf>], [<https://ieeexplore.ieee.org/document/7298965>].
- Badrinarayanan V., Kendall A., Cipolla R. SegNet: A Deep Convolutional Encoder-Decoder Architecture for Image Segmentation. – 2015. – [<https://arxiv.org/pdf/1511.00561.pdf>], [<https://ieeexplore.ieee.org/document/7803544>].
- Ronneberger O., Fischer P., Brox T. U-net: Convolutional networks for biomedical image segmentation. – 2015. – [<https://arxiv.org/pdf/1505.04597.pdf>], [[https://link.springer.com/chapter/10.1007/978-3-319-24574-4\\_28](https://link.springer.com/chapter/10.1007/978-3-319-24574-4_28)].



## Основная литература (2)

---

- ❑ Zhao H., Shi J., Qi X., Wang X., Jia J. Pyramid scene parsing network. – 2016. – [<https://arxiv.org/pdf/1612.01105.pdf>], [<https://ieeexplore.ieee.org/document/8100143>].
- ❑ Zhao H., Qi X., Shen X., Shi J., Jia J. ICNet for Real-Time Semantic Segmentation on High-Resolution Images. – 2017. – [<https://arxiv.org/pdf/1704.08545.pdf>], [[https://link.springer.com/chapter/10.1007/978-3-030-01219-9\\_25](https://link.springer.com/chapter/10.1007/978-3-030-01219-9_25)].
- ❑ Chen L.-C., Papandreou G., Kokkinos I., Murphy K., Yuille A.L. Semantic Image Segmentation with Deep Convolutional Nets and Fully Connected CRFs. – 2014. – [<https://arxiv.org/pdf/1412.7062.pdf>].



## Основная литература (3)

---

- ❑ Chen L.-C., Papandreou G., Kokkinos I., Murphy K., Yuille A.L. DeepLab: Semantic Image Segmentation with Deep Convolutional Nets, Atrous Convolution, and Fully Connected CRFs. – 2017. – [<https://arxiv.org/pdf/1606.00915.pdf>], [<https://ieeexplore.ieee.org/document/7913730>].
- ❑ Chen L.-C., Papandreou G., Schroff F., Adam H. Rethinking Atrous Convolution for Semantic Image Segmentation. – 2017. – [<https://arxiv.org/pdf/1706.05587.pdf>].
- ❑ Chen L.-C., Zhu Y., Papandreou G., Schoff F., Adam H. Encoder-Decoder with Atrous Separable Convolution for Semantic Image Segmentation. – 2018. – [<https://arxiv.org/pdf/1802.02611.pdf>].



# Авторский коллектив

---

- ❑ **Турлапов Вадим Евгеньевич**  
д.т.н., профессор кафедры МОСТ ИИТММ ННГУ  
[vadim.turlapov@itmm.unn.ru](mailto:vadim.turlapov@itmm.unn.ru)
- ❑ **Васильев Евгений Павлович**  
преподаватель кафедры МОСТ ИИТММ ННГУ  
[evgeny.vasiliev@itmm.unn.ru](mailto:evgeny.vasiliev@itmm.unn.ru)
- ❑ **Гетманская Александра Александровна**  
преподаватель кафедры МОСТ ИИТММ ННГУ  
[alexandra.getmanskaya@itmm.unn.ru](mailto:alexandra.getmanskaya@itmm.unn.ru)
- ❑ **Кустикова Валентина Дмитриевна**  
к.т.н., доцент каф. МОСТ ИИТММ ННГУ  
[valentina.kustikova@itmm.unn.ru](mailto:valentina.kustikova@itmm.unn.ru)

